# 加熱を受けたコンクリートの破壊エネルギーと質量減少率の関係

東京都市大学大学院 学生会員〇高地 透 東京都市大学 正会員 栗原哲彦

### 1. はじめに

加熱を受けたコンクリートの破壊エネルギーについ ては、B.Zhang ら 1)などにより研究がなされている。 B.Zhang らは破壊エネルギーと質量減少率の関係性を 示しているが、加熱範囲を105~450℃と設定しており、 それ以上の高温加熱を行っていない。そこで本研究で は、既往の研究より高温で加熱を行い、破壊エネルギ ーと質量減少率の関係性を示すことを目的とした。

### 2. 実験概要

本実験では破壊エネルギーに影響を及ぼす成分を探 るため 2 種類の配合により、普通コンクリートを作製 し比較を行った。加熱後の破壊エネルギーと質量減少 率を計測し, 既往の研究との比較を行った。

### 2.1 試験体

本実験で使用した配合を表-1 に示す. 100×100× 400mm の角柱試験体(各シリーズ 6 体) と φ 50×100mm の円柱試験体(非加熱時圧縮試験用,各シリーズ3体) を作製した。作製後14日間水中養生を行い、その後各 種試験を実施した。試験体は普通強度コンクリート(粗 骨材の最大寸法 20mm) を用いて作製した。

### 2.2 加熱試験

加熱試験は、耐熱レンガで自作した加熱炉を用いて 行った。加熱炉内の温度を確認するために加熱装置付 近と炉内上部に K 型熱電対を設置し炉内温度を測定し た。試験体は養生後切欠きを加えた状態で,この切欠 き部分が下面になるように加熱炉内に設置した。加熱 温度は, 3 種類 (770℃: H, 630℃: M, 500℃: L) 設定した ( $\mathbf{表}-\mathbf{2}$  参照)。また、この時の加熱温度とは 炉内下部の熱電対で測定した温度である(図-1参照)。 加熱時間は3時間とした。加熱終了後の冷却方法は自 然冷却とし,加熱試験の翌日に載荷試験を実施した。

### 2.3 質量減少率の測定方法

加熱前と加熱後の試験体の質量を測定し、質量減少 率の算出を行った。

# 2. 4 荷重-CMOD 曲線測定試験方法 2)

加熱試験終了後の試験体に対し JCI-S-001-2003 に従 い試験体下部に切欠きを加え,3点曲げ試験を実施した。 CMOD(ひび割れ開口変位)はクリップゲージを使用 し測定し、荷重-CMOD 曲線とした。

# 2.5 破壊エネルギー算出方法 2)

測定した荷重-CMOD 曲線を用いてコンクリートの 破壊エネルギーを JCI-S-001-2003 に従い算出した。

### 3. 実験結果

各試験における荷重-CMOD 曲線測定結果および試 験結果から算出した各種パラメータを示す。

### 3.1 質量減少率

各シリーズの加熱前と加熱後に測定した試験体の質 量から算出した質量減少率の平均値と加熱温度の関係 を $\mathbf{Z} - \mathbf{Z}$  に示す。この結果から、各シリーズ共に加熱温 度が上昇するに従い質量が減少していることが確認で きた。また、630℃加熱から 770℃加熱にかけての質量 減少率の上昇が大きく表れる結果となった。

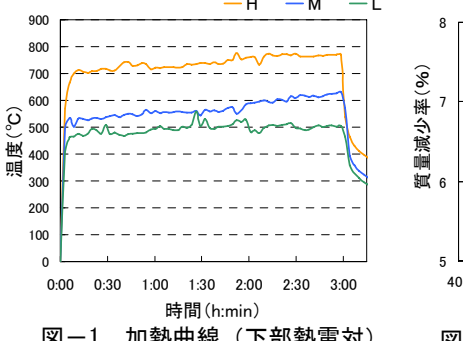
表-1 示方配合

シリーズ	W/C	単位量(kg/m³)						圧縮強度	ヤング係数
, ,	(%)	C	W	S	G	Ad1	Ad2	(N/mm <sup>2</sup> )	(kN/mm <sup>2</sup> )
A	55	307	169	822	960	0.768	0.031	40.2	29.1
В		282	155	879	960	0.705	0.028	39.9	30.2

C:早強ポルトランドセメント Ad1:AE減水剤 Ad2:補助AE剤

表-2 加熱実験におけるシリーズ

温度	770℃	630°C	500℃				
A	А-Н	A-M	A-L				
В	В-Н	B-M	B-L				



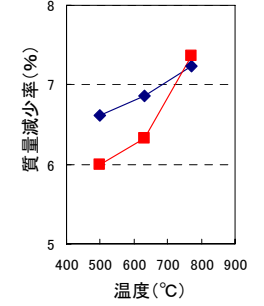


図-1 加熱曲線(下部熱電対)

図-2 質量減少率

キーワード 破壊エネルギー,荷重-CMOD曲線,質量減少率

連絡先 〒158-8557 東京都世田谷区玉堤 1-28-1 東京都市大学 都市工学科 栗原研究室 Tel 03-3703-3111 (内線 3242)

## 3.2 荷重-CMOD 曲線

A・B ごとにまとめた加熱後の荷重-CMOD 曲線の平均曲線を図-3, 4 に示す。各シリーズの最大荷重,最大荷重時および試験体破断時の CMOD の平均値と計測値の変動係数を表-3 に示す。加熱温度が上昇するに従い,最大荷重は減少し最大荷重時の CMOD は増加する傾向にあった。また A・B を比較すると,加熱温度 770℃の場合の A・B の最大荷重および両 CMOD に差異が認められている。これは、770℃の高温にさらされた際に、Aが Bに比べセメントペースト量が多いため水酸化カルシウムの熱分解量が多く,ペーストの脆弱化が大きかったためと考えられる。各変動係数については,加熱温度が上昇するに従い,増加する結果となった。

# 3.3 破壊エネルギー

実験により得られた荷重-CMOD 曲線の平均曲線か ら破壊エネルギーを算出した結果を表-4に示し、加熱 温度と破壊エネルギーの関係を図-5に示す。また、質 量減少率と破壊エネルギーの関係を図-6に示し、 B.Zhang らの試験結果との比較を行った。 いずれのシリ ーズにおいても加熱温度あるいは質量減少率が上昇す るに従い破壊エネルギーは減少する傾向にあった。し かし、非加熱の場合と比較すると、加熱されることに よって破壊エネルギーは一旦上昇していることが分か る。この原因としては加熱時の発生したマイクロクラ ック等の影響が考えられる。また、図-6に示す本実験 結果は B.Zhang らの結果の延長線上にプロットするこ とができ、破壊エネルギーは質量減少率が6%以上の場 合は直線的に減少することが分かった。しかし、破壊 エネルギーがどの程度まで直線的に減少するのかは, 本実験で明らかにすることができなかった。

### 4. 結論

本実験の結果から次の結論が言える。コンクリートの破壊エネルギーは加熱されることによって一旦は上昇するが、ある一定の質量減少率に達するとその後減少する。しかし、どの程度まで破壊エネルギーが直線的に減少し続けるかは本実験では分からなかった。

### 参考文献

1)B.Zhang and N.Bicanic: Fracture energy of high performance concrete at temperatures up to 450°C, Fracture Mechanics of Concrete Structures, pp.461-468, 2001

2)コンクリート工学協会: JCI 規準集, 2003

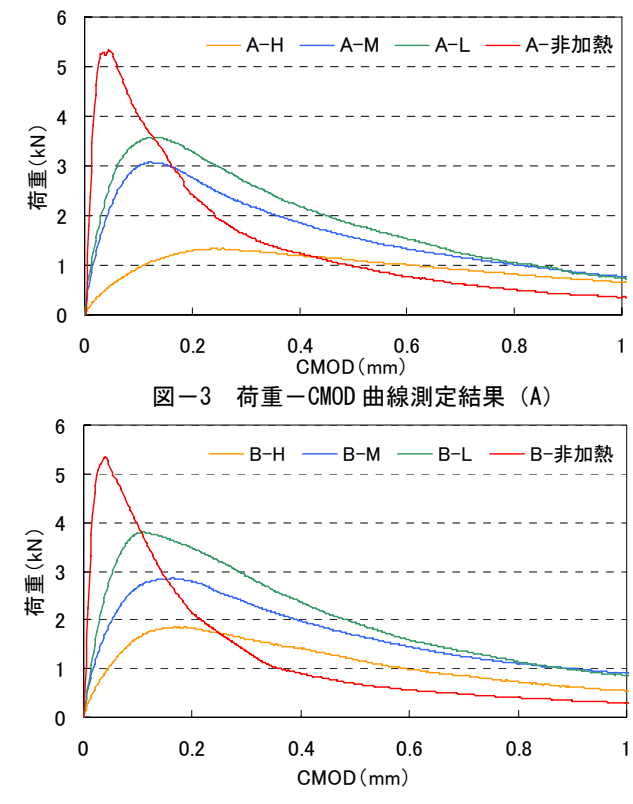
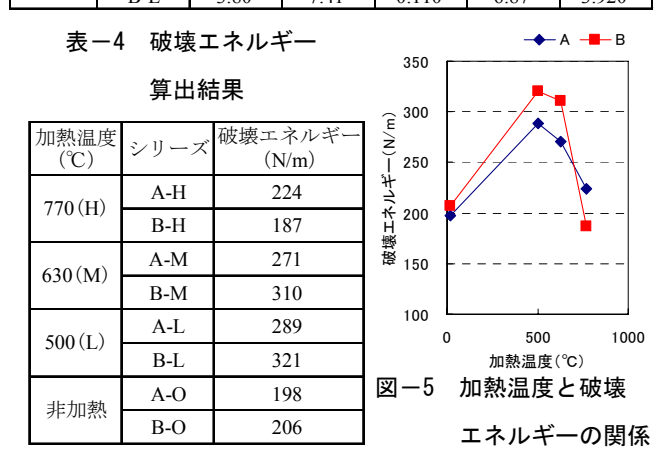


図-4 荷重-CMOD 曲線測定結果 (B)

表-3 荷重および CMOD まとめ

the #th AFF pho		最大	荷重	最大荷重	破断時	
加熱温度 (℃)	シリーズ	平均値	変動係数	平均値	変動係数	CMOD
(0)		(kN)	(%)	(mm)	(%)	(mm)
770 (H)	A-H	1.33	31.2	0.242	37.8	3.898
	В-Н	1.85	24.1	0.168	33.5	3.352
630 (M)	A-M	3.08	10.8	0.124	12.4	3.998
	B-M	2.86	10.1	0.164	13.8	3.998
500 (L)	A-L	3.58	5.42	0.124	4.57	3.692
	B-L	3.80	7.41	0.110	6.87	3.920



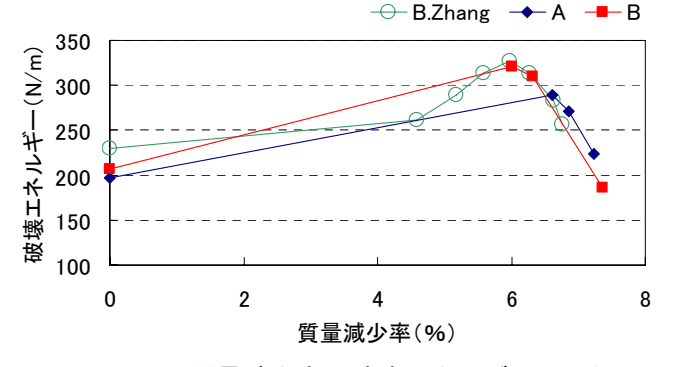


図-6 質量減少率と破壊エネルギーの関係